

# ミューオニウム-反ミューオニウム転換で探る新物理

T. Fukuyama, Y. Mimura, & Y. Uesaka, arXiv:2108.10736.

## 目次

1. CLFVとミューオニウム-反ミューオニウム振動 (3ページ)
2. 有効相互作用と転換確率 (7ページ)
3. 新物理分類 (2ページ)
4. 例：Zee-Babu模型 (4ページ)
5. まとめ (1ページ)

上坂 優一

九州産業大学

# レプトンフレーバー非保存過程

➤ 反応の前後でレプトンフレーバーが保存しない過程 = LFV 過程

⇒ 荷電レプトンにおける LFV = CLFV (cLFV)

• 標準模型 (SM) の枠組みでレプトンフレーバーは **保存量**

allowed

$$\mu^- \rightarrow e^- \nu_\mu \bar{\nu}_e$$

$$\pi^- \rightarrow \mu^- \bar{\nu}_\mu$$

forbidden (CLFV)

$$\mu^- \rightarrow e^- \gamma$$

$$\mu^- \rightarrow e^- e^+ e^-$$

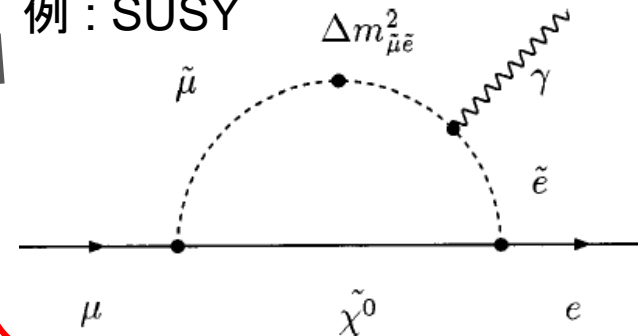
• 多くの “SMを超える模型” が CLFV を予言

• (ニュートリノ混合の寄与は小)

予想される崩壊分岐比

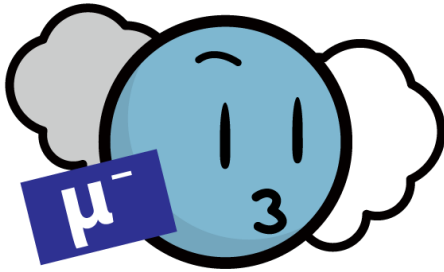
$$\text{Br}(\mu \rightarrow e \gamma) < 10^{-54}$$

例: SUSY



➤ “世代” の発見以降 様々なCLFVモードが探索 (いずれも未発見)

# ミューオン稀崩壊



大量に生成可能 (1秒間に $\sim 10^9$ 個)  
長寿命で扱いやすい

## ➤ 現状の制限

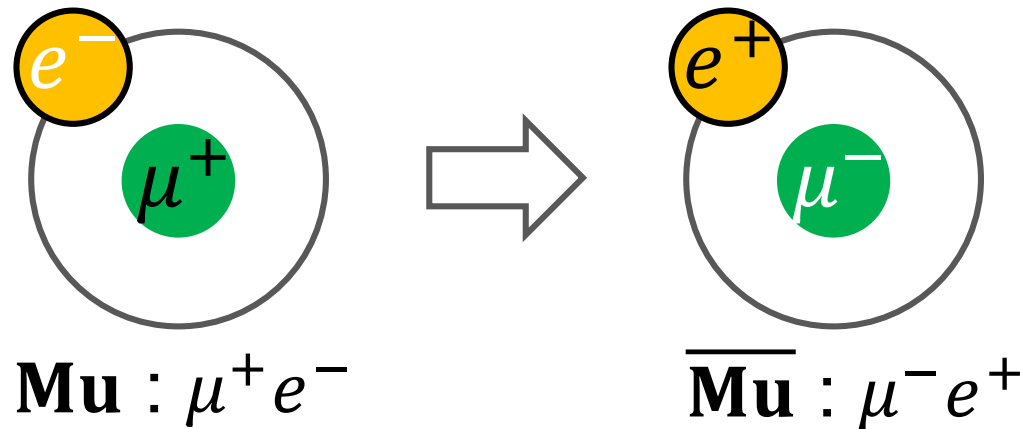
L. Calibbi & G. Signorelli, Riv. Nuovo Cim. **41**, 1 (2018).

Reaction	Present limit	C.L.	Experiment	Year
$\mu^+ \rightarrow e^+ \gamma$	$< 4.2 \times 10^{-13}$	90%	MEG at PSI	2016
$\mu^+ \rightarrow e^+ e^- e^+$	$< 1.0 \times 10^{-12}$	90%	SINDRUM	1988
$\mu^- \text{Ti} \rightarrow e^- \text{Ti}$	$< 6.1 \times 10^{-13}$	90%	SINDRUM II	1998
$\mu^- \text{Pb} \rightarrow e^- \text{Pb}$	$< 4.6 \times 10^{-11}$	90%	SINDRUM II	1996
$\mu^- \text{Au} \rightarrow e^- \text{Au}$	$< 7.0 \times 10^{-13}$	90%	SINDRUM II	2006

•  $\Delta L_\mu = -\Delta L_e = \pm 1$  でレプトンフレーバーを破る(LFV)過程

⇒ 新物理によるフレーバーの破れの単位が **1** である場合に有効な探索

# Muonium(Mu)-to-Antimuonium( $\overline{\text{Mu}}$ ) 転換



- $\Delta L_\mu = -\Delta L_e = 2$  でレプトンフレーバーを破る(LFV)過程  
 $\Delta L_\mu = -\Delta L_e = \pm 1$  のLFVは  $\mu \rightarrow e\gamma$ ,  $\mu \rightarrow 3e$  などで厳しく制限  
 新粒子がフレーバー数を 2つ 運ぶ場合には Mu-to- $\overline{\text{Mu}}$  が優勢
- 純粋なレプトン系 (ハドロンによる不定性なし)
- J-PARC (日本、N.Kawamura *et al.*, JPS Conf. Proc. 33, 011120 (2021))  
 および CSNS (中国、MACE collab.) で将来実験が計画

$$P < 8.3 \times 10^{-11} \text{ (PSI)} \quad \Rightarrow \quad \mathcal{O}(10^{-14}) \text{ (CSNS)}$$

# 有効相互作用

$$-\mathcal{L}_{\text{Mu}-\overline{\text{Mu}}} = \sum_i \frac{G_i}{\sqrt{2}} Q_i$$

$G_i$  : 結合定数

$Q_1 = [\bar{\mu}\gamma_\alpha(1 - \gamma_5)e][\bar{\mu}\gamma^\alpha(1 - \gamma_5)e]$	LL vector
$Q_2 = [\bar{\mu}\gamma_\alpha(1 + \gamma_5)e][\bar{\mu}\gamma^\alpha(1 + \gamma_5)e]$	RR vector
$Q_3 = [\bar{\mu}\gamma_\alpha(1 - \gamma_5)e][\bar{\mu}\gamma^\alpha(1 + \gamma_5)e]$	LR vector
$Q_4 = [\bar{\mu}(1 - \gamma_5)e][\bar{\mu}(1 - \gamma_5)e]$	LL scalar
$Q_5 = [\bar{\mu}(1 + \gamma_5)e][\bar{\mu}(1 + \gamma_5)e]$	RR scalar

※ 4-Fermi型の演算子はこれで全て ( ∴ Fierz 恒等式 )

# Mu-to- $\overline{\text{Mu}}$ 転換

参考：K- $\overline{\text{K}}$  混合

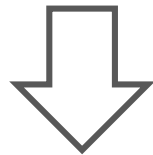
$$|\psi(t)\rangle = \alpha(t)|\text{Mu}\rangle + \beta(t)|\overline{\text{Mu}}\rangle$$

$$i \frac{\partial}{\partial t} \begin{pmatrix} \alpha \\ \beta \end{pmatrix} = \begin{pmatrix} \mathcal{M}_{11} & \mathcal{M}_{12} \\ \mathcal{M}_{21} & \mathcal{M}_{11} \end{pmatrix} \begin{pmatrix} \alpha \\ \beta \end{pmatrix}$$

新物理による混合

$$\mathcal{M}_{ij} = M_{ij} - i\Gamma_{ij}/2$$

$$M = M^\dagger, \Gamma = \Gamma^\dagger$$



転換確率  $P(\text{Mu} \rightarrow \overline{\text{Mu}}) \simeq 2\tau^2 |\mathcal{M}|^2$

$\tau$  : muon lifetime  $\simeq 2.2 \mu\text{s}$

$$\mathcal{M} \equiv \sqrt{\mathcal{M}_{12}\mathcal{M}_{21}}$$

# ミューオニウムの状態4つ

- ミューオニウムは 電子とミューオンのスピンの組み方により 4つの状態が微細構造として存在

$$\text{Mu}(F, m)$$

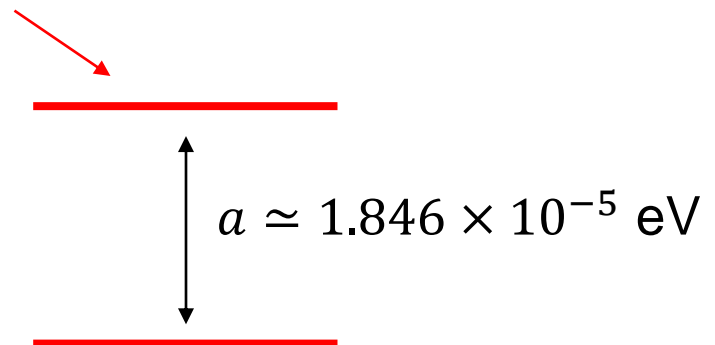
角運動量の大きさ      角運動量の  $z$  成分

$$(F, m) = \left\{ \begin{array}{l} (1, +1) \\ (1, 0) \\ (1, -1) \\ (0, 0) \end{array} \right\}$$

triplet (ortho)  
singlet (para)

$$E(\text{Mu}; 1, 0) = E(\text{Mu}; 1, \pm 1) = E_0 + \frac{a}{4}$$

$$E(\text{Mu}; 0, 0) = E_0 - \frac{3}{4}a$$



➤ Mu-to- $\overline{\text{Mu}}$  転換確率は ミューオニウム の状態に依存

For the triplet ( $F = 1$ ) states,

$$\mathcal{M}_{1,0} = \mathcal{M}_{1,\pm 1} = \frac{8|\varphi(0)|^2}{\sqrt{2}} \left( G_1 + G_2 + \frac{1}{2}G_3 - \frac{1}{4}G_4 - \frac{1}{4}G_5 \right)$$

For the singlet ( $F = 0$ ) state,

$$\mathcal{M}_{0,0} = \frac{8|\varphi(0)|^2}{\sqrt{2}} \left( G_1 + G_2 - \frac{3}{2}G_3 - \frac{1}{4}G_4 - \frac{1}{4}G_5 \right)$$

$$\varphi(0) = \sqrt{\frac{(m_{\text{red}}\alpha)^3}{\pi}}$$

➤ 転換確率は **磁場** に依存 ( 実用上 重要 )



- ① Mu(1, ±1) と  $\overline{\text{Mu}}$ (1, ±1) のエネルギー差が nonzero
- ② Mu(1,0) と Mu(0,0) が混合



①  $\text{Mu}(1, \pm 1)$  と  $\overline{\text{Mu}}(1, \pm 1)$  のエネルギー差が nonzero

$\text{Mu}$  と  $\overline{\text{Mu}}$  のエネルギー差  $\Delta E$  を考慮した際の転換確率

$$P(\text{Mu}(1, \pm 1) \rightarrow \overline{\text{Mu}}) = \frac{2\tau^2 |\mathcal{M}_{1, \pm 1}|^2}{1 + (\tau\Delta E)^2}$$

$$\tau\Delta E = 3.8 \times 10^5 \times \frac{B}{\text{Tesla}}$$

∴  $\mu\text{T}$  以上の磁場で  $m = \pm 1$  の寄与は抑制

cf. 地磁気 30-60  $\mu\text{T}$

## ② Mu(1,0) と Mu(0,0) が混合

磁場中における  $m = 0$  状態の遷移振幅

$$\mathcal{M}_{0,0}^B \simeq \frac{1}{2} \left( \mathcal{M}_{0,0} - \mathcal{M}_{1,0} + \frac{\mathcal{M}_{0,0} + \mathcal{M}_{1,0}}{\sqrt{1 + X^2}} \right)$$

$$\mathcal{M}_{1,0}^B \simeq \frac{1}{2} \left( -\mathcal{M}_{0,0} + \mathcal{M}_{1,0} + \frac{\mathcal{M}_{0,0} + \mathcal{M}_{1,0}}{\sqrt{1 + X^2}} \right)$$

$$X = \frac{\mu_B B}{a} \left( g_e + \frac{m_e}{m_\mu} g_\mu \right) \simeq 6.31 \frac{B}{\text{Tesla}}$$

磁場中の転換確率

$$P = 2\tau^2 \left( |c_{0,0}|^2 |\mathcal{M}_{0,0}^B|^2 + |c_{1,0}|^2 |\mathcal{M}_{1,0}^B|^2 + \sum_{m=\pm 1} |c_{1,m}|^2 \frac{|\mathcal{M}_{1,\pm 1}|^2}{1 + (\tau\Delta E)^2} \right)$$

$|c_{F,m}|^2$ : 始状態の存在比

# 現状の制限 (PSI)

磁場  $B = 0.1$  Tesla のもと

$$P < 8.3 \times 10^{-11}$$

L. Willmann *et al.*, PRL**82**, 49 (1999).



(磁場の影響も考慮)

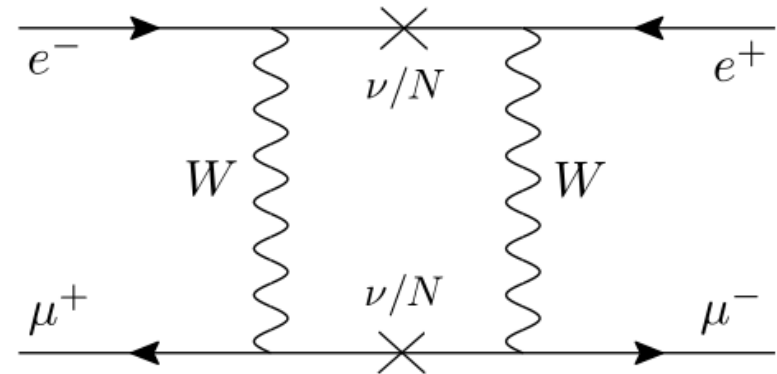
参考： K. Horikawa & K. Sasaki, PRD**53**, 560 (1996),  
W. S. Hou & G. G. Wong, PLB**357**, 145 (1995).

$$\underline{|G_i| \lesssim 3.0 \times 10^{-3} G_F}$$

# Mu-to- $\overline{\text{Mu}}$ 転換を起こす新粒子分類 4つ

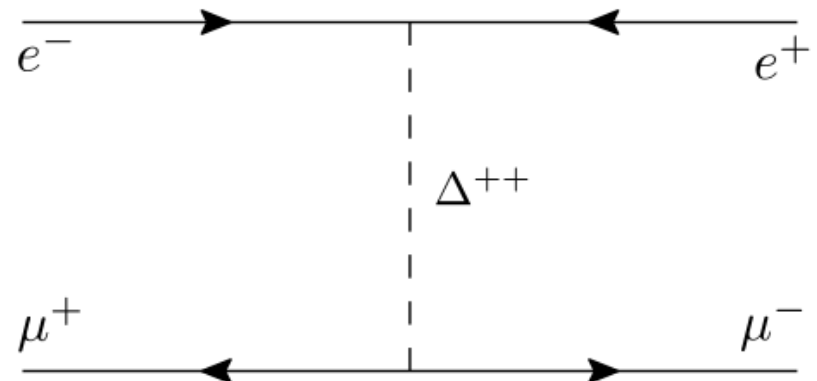
$$1. \Delta L_e = \Delta L_\mu = 0$$

- SM singlet の質量項が  
レプトン数を破る
- loop
- Majorana  $\nu$  質量など



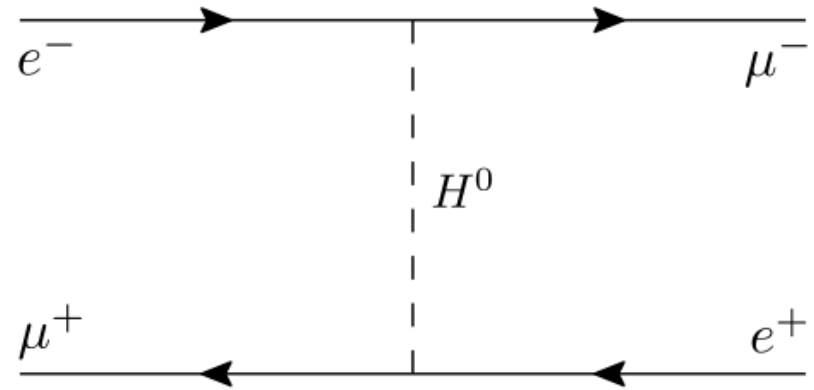
$$2. (\Delta L_e, \Delta L_\mu) = (\pm 2, 0), (0, \pm 2)$$

- レプトン数が破れている必要なし
- doubly-charged mediator
- tree



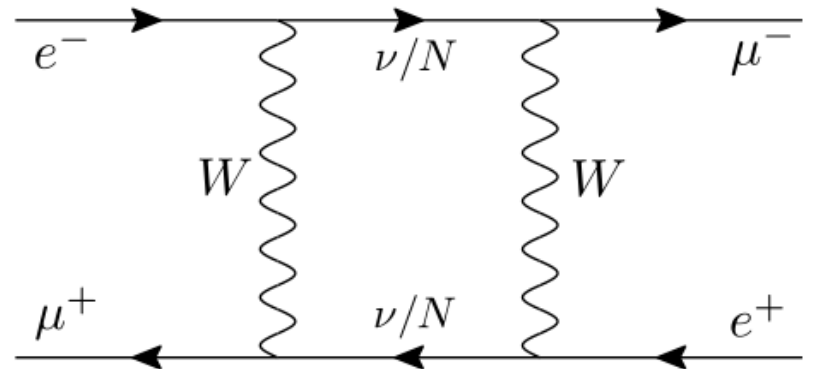
### 3. $\Delta L_e = -\Delta L_\mu = \pm 1$

- レプトン数が破れている必要なし
- neutral mediator
- tree



### 4. $(\Delta L_e, \Delta L_\mu) = (\pm 1, 0), (0, \pm 1)$

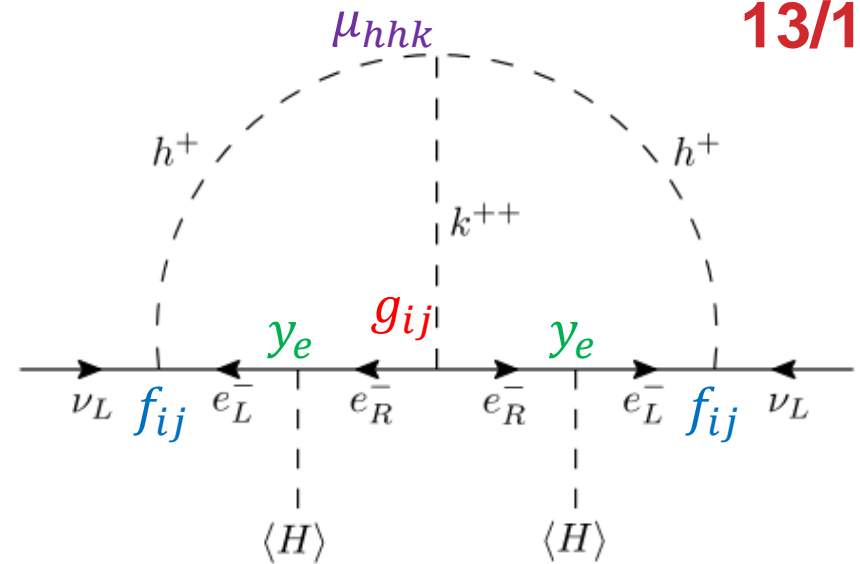
- loop
- 模型によらず  
 $\mu \rightarrow e\gamma$  や  $\mu \rightarrow 3e$  の制限が厳しい



# 例 : Zee-Babu 模型

radiative neutrino 模型の一つ

two-loop で neutrino 質量を生成



$$-\mathcal{L} \supset \left( f_{ij} \bar{\ell}_i^c \cdot \ell_j h^+ + g_{ij} \bar{e}_i e_j^c k^{--} + \mu_{hhk} h^+ h^+ k^{--} + h.c. \right) \\ + m_h^2 h^- h^+ + m_k^2 k^{--} k^{++}$$

$f$  : anti-symmetric for  $i, j$        $g$  : symmetric for  $i, j$

$$M_\nu = \frac{1}{M_0} f M_e g M_e f^T \qquad \frac{1}{M_0} = \frac{\mu_{hhk}}{48\pi^2 \max(m_h^2, m_k^2)} \tilde{I}$$

$$M_e = \text{diag}(m_e, m_\mu, m_\tau)$$

rank-2 ( $m_{\text{lightest}} = 0$ )     $\because f$  は flavor について反対称

Normal ordering の場合  $M_\nu = U^* \text{diag}(0, m_2, m_3) U^\dagger$   
 $= m_2 u_2^* u_2^\dagger + m_3 u_3^* u_3^\dagger$

$U = (u_1, u_2, u_3)$  : PMNS行列

where

$$u_1 = \begin{pmatrix} c_{12}c_{13} \\ -s_{12}c_{23} - e^{i\delta}c_{12}s_{13}s_{23} \\ s_{12}s_{23} - e^{i\delta}c_{12}s_{13}c_{23} \end{pmatrix}, \quad u_2 = \begin{pmatrix} s_{12}c_{13} \\ c_{12}c_{23} - e^{i\delta}s_{12}s_{13}s_{23} \\ -c_{12}s_{23} - e^{i\delta}s_{12}s_{13}c_{23} \end{pmatrix}, \quad u_3 = \begin{pmatrix} e^{-i\delta}s_{13} \\ c_{13}s_{23} \\ c_{13}c_{23} \end{pmatrix}$$



ニュートリノ質量再現のため  $g$  の構造が(いくらか)決まる

$$M_\nu = \frac{1}{M_0} f M_e g M_e f^T \quad f = f_0 \begin{pmatrix} 0 & U_{\tau 1} & -U_{\mu 1} \\ -U_{\tau 1} & 0 & U_{e 1} \\ U_{\mu 1} & -U_{e 1} & 0 \end{pmatrix} \quad f_0 : \text{比例係数}$$

$$\frac{f_0^2}{M_0} M_e g M_e = m_2 u_3 u_3^T + m_3 u_2 u_2^T + a_1 u_1 u_1^T + a_2 (u_1 u_2^T + u_2 u_1^T) + a_3 (u_1 u_3^T + u_3 u_1^T)$$

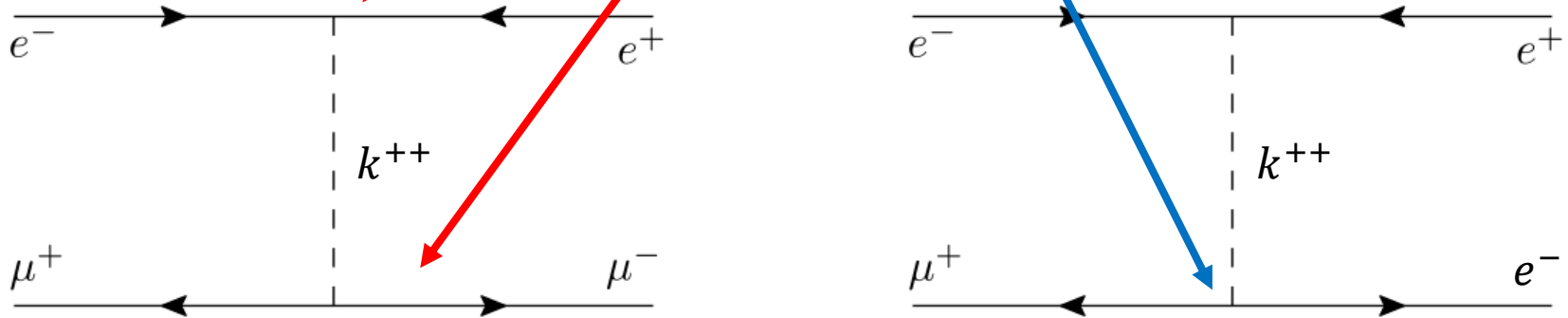
$a_1, a_2, a_3$  : フリーパラメータ

$$-\mathcal{L} \supset g_{ij} \bar{e}_i e_j^c k^{--}$$

$$g = \begin{pmatrix} g_{ee} & g_{e\mu} & g_{e\tau} \\ g_{e\mu} & g_{\mu\mu} & g_{\mu\tau} \\ g_{e\tau} & g_{\mu\tau} & g_{\tau\tau} \end{pmatrix}$$

$\tau^- \rightarrow e^+ \ell \ell'$   
 $\tau^- \rightarrow \mu^+ \ell \ell'$

Mu-to-Mu 転換



フリーパラメータ  $a_1, a_2, a_3$  を以下のように定めて解析

- $a_1, a_2, a_3$  の自由度のうち1つを使って  $g_{ee}$  を調整  
( $g_{ee} m_e^2 \sim g_{\mu\mu} m_\mu^2$  より  $g_{ee}$  は1を超えがち)
- 残りの自由度2つを使って  $g_{e\mu}$  と  $g_{e\tau}$  を消去

⇒  $g_{\mu\tau}$  は残るので  $\tau^- \rightarrow \mu^+ e^- e^-$ ,  $\tau \rightarrow 3\mu$  を予言



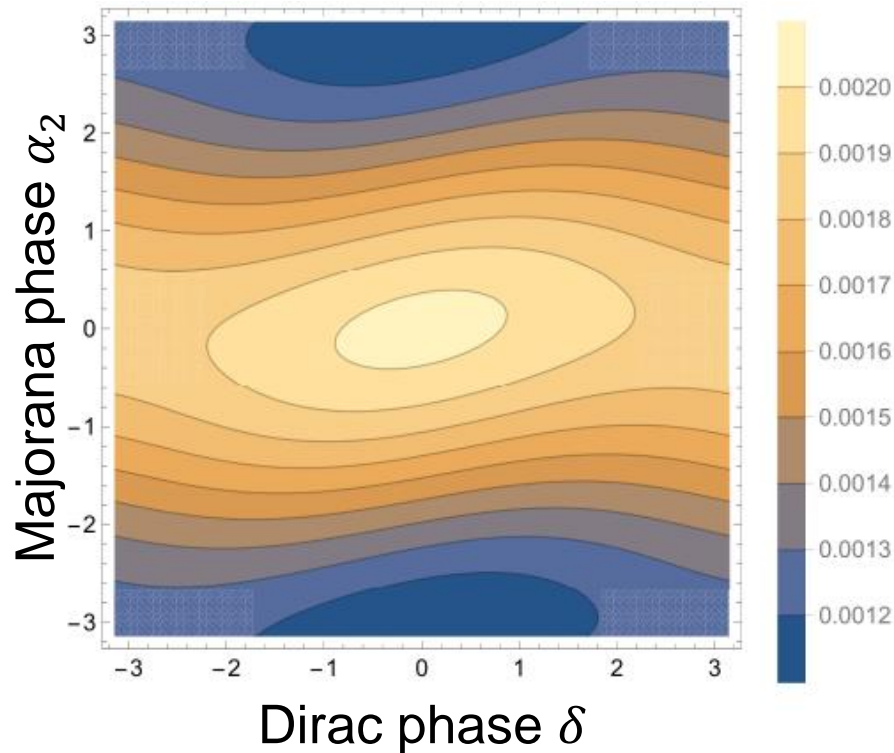
$$g_{ee} = g_{\mu\mu}, g_{e\mu} = g_{e\tau} = 0$$

$$f_0^2 = 0.002, m_k = 1.2 \text{ TeV}, M_0/(48\pi^2) = 500 \text{ GeV}$$

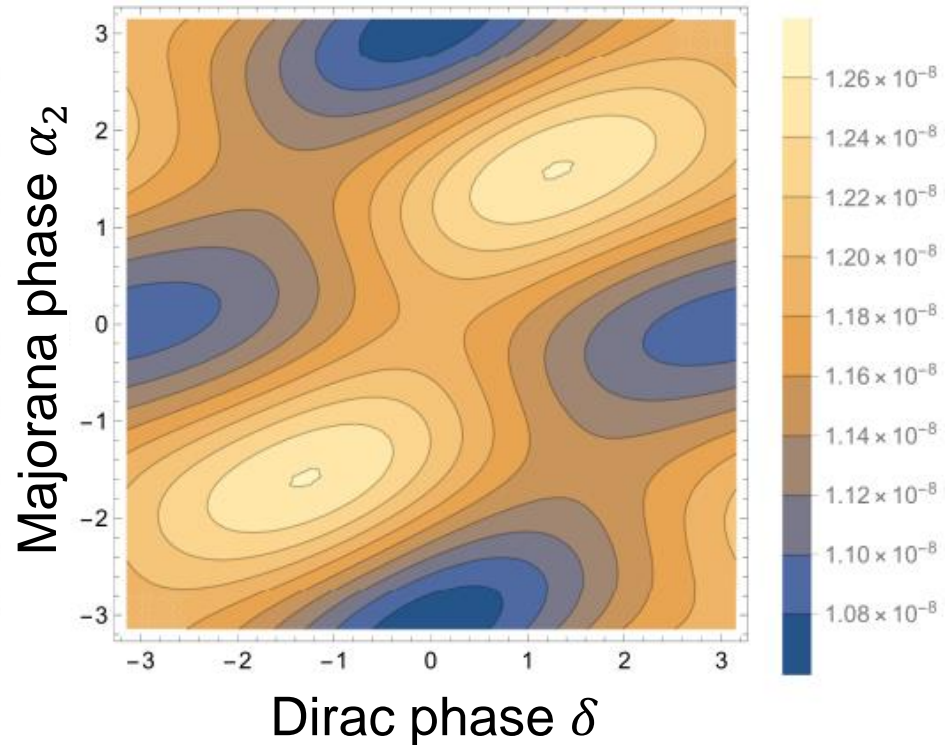
$$-\mathcal{L} \supset \frac{G_2}{\sqrt{2}} [\bar{\mu}\gamma_\alpha(1 + \gamma_5)e][\bar{\mu}\gamma^\alpha(1 + \gamma_5)e]$$

$$|G_2|/G_F$$

$$\text{Br}(\tau \rightarrow 3\mu) = \text{Br}(\tau^- \rightarrow \mu^+ e^- e^-)$$



$$\Rightarrow \frac{G_2}{G_F} \sim \mathcal{O}(10^{-3})$$



$$\Rightarrow \text{Br}(\tau \rightarrow 3\mu) \sim \mathcal{O}(10^{-8})$$

# まとめ

## ● Mu-to- $\overline{\text{Mu}}$ 転換

✓  $\Delta F = 2$  の稀過程      ✓ 日本と中国で将来実験が計画

✓ 素粒子模型のレプトン構造を調べるのに有用な probe

✓ 今回 様々な模型に対し Mu-to- $\overline{\text{Mu}}$  転換がどれだけ有効か調査

T. Fukuyama, Y. Mimura, & Y. Uesaka, arXiv:2108.10736.

## ● 例 : Zee-Babu 模型

✓ radiative neutrino 模型のひとつ ( two loop )

✓ ニュートリノ質量を再現して 他のLFVの制限を満たしつつ

Mu-to- $\overline{\text{Mu}}$  転換が現状の制限程度の大きさになり得る

✓ Mu-to- $\overline{\text{Mu}}$  転換と共に  $\tau$  稀崩壊も大きくなるので 相互検証が面白い

**Backup**

# Muonium HyperFine Splitting

( arXiv:nucl-ex/0210022 )

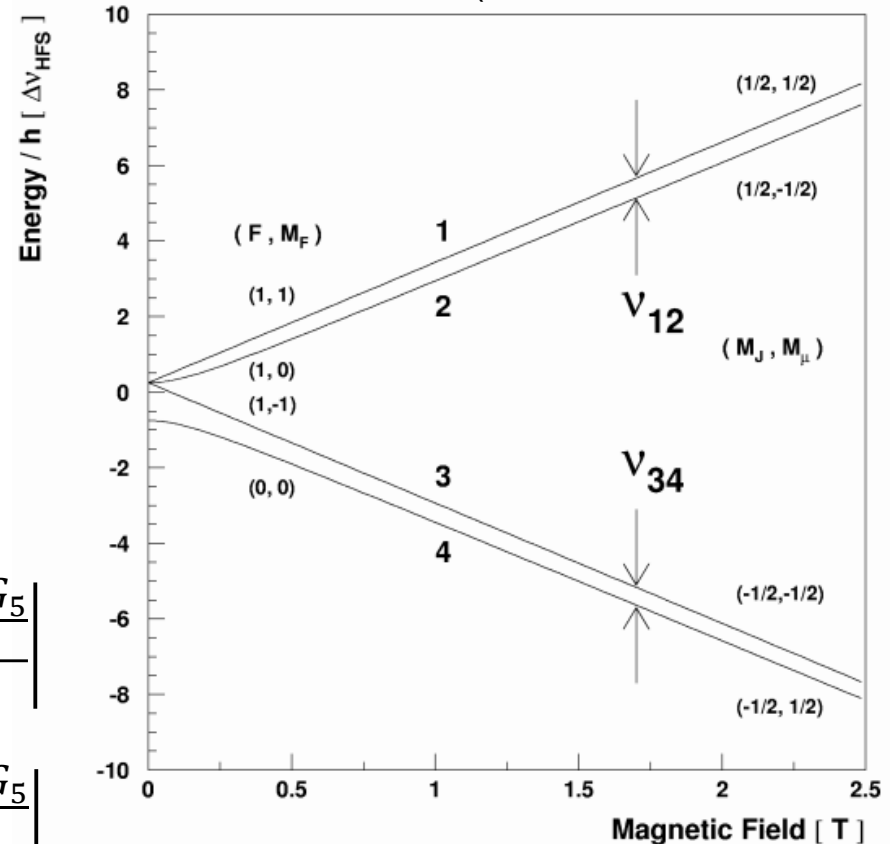
$$h\nu_{\text{HFS}} = h\nu_{12} + h\nu_{34}$$

$$h\nu_{12} = \frac{a}{2} \left( 1 + Y - \sqrt{1 + X^2} \right)$$

$$h\nu_{34} = \frac{a}{2} \left( 1 - Y + \sqrt{1 + X^2} \right)$$

$$h\Delta\nu_{12} = \pm \frac{8m_{\text{red}}^3 \alpha^3}{\sqrt{2}\pi} \left| G_3 + \frac{G_1 + G_2 - \frac{G_3}{2} - \frac{G_4 + G_5}{4}}{\sqrt{1 + X^2}} \right|$$

$$h\Delta\nu_{34} = \pm \frac{8m_{\text{red}}^3 \alpha^3}{\sqrt{2}\pi} \left| G_3 - \frac{G_1 + G_2 - \frac{G_3}{2} - \frac{G_4 + G_5}{4}}{\sqrt{1 + X^2}} \right|$$



1 Hz 程度の精度で  $B = 0$  と  $B \neq 0$  における splitting を調べられれば  
Mu-Mubar との cross check が可能

# Zee-Babu 模型

Inverted ordering の場合

$$f = f_0 \begin{pmatrix} 0 & U_{\tau 3} & -U_{\mu 3} \\ -U_{\tau 3} & 0 & U_{e 3} \\ U_{\mu 3} & -U_{e 3} & 0 \end{pmatrix}$$

$$\frac{f_0^2}{M_0} M_e g M_e = m_1 u_2 u_2^T + m_2 u_1 u_1^T + a_1 (u_3 u_1^T + u_1 u_3^T) + a_2 (u_3 u_2^T + u_2 u_3^T) + a_3 u_3 u_3^T$$

$U_{e3}$  の小ささゆえ neutrino質量再現のためには  $g_{\mu\mu}$  は大きくしないといけない

⇒  $g_{ee}$  は  $g_{\mu\mu}$  と比べて小さくしないと  $M_{\mu-\bar{\mu}}$  が大きくなりすぎてしまう